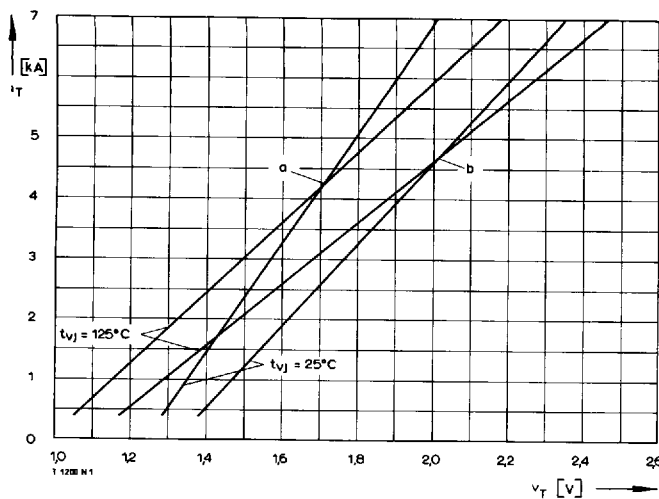
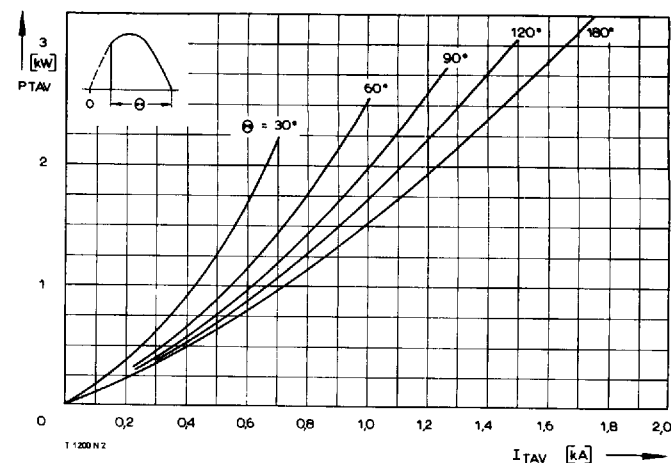


**T 1200 N T 1209 N**

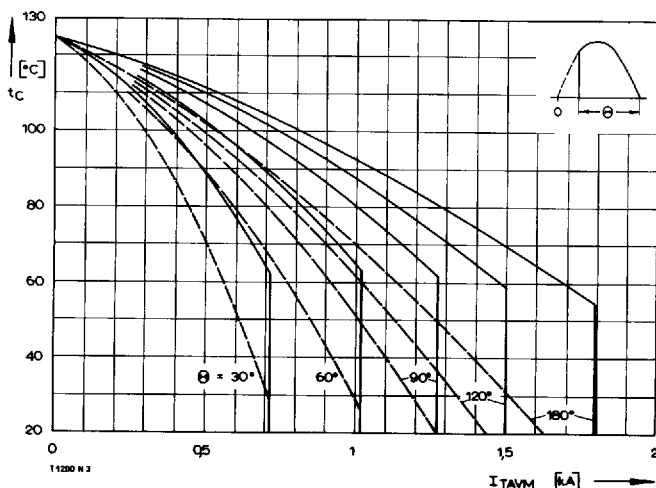
Type range	T 1200 N/T 1209 N	1200	1400	1600	1800
<b>Elektrische Eigenschaften</b>	<b>Electrical properties</b>				
<b>Höchstzulässige Werte</b>	<b>Maximum permissible values</b>				
$V_{DRM}, V_{RRM}$	Periodische Vorwärts- und Rückwärts-Spitzenperrspannung	repetitive peak forward off-state and reverse voltages		1200...1800	V
$I_{TRMSM}$	Effektiver Durchlaßstrom	RMS on-state current		2800	A
$I_{TAVM}$	Dauergrenzstrom	average on-state current	$t_c = 85^\circ\text{C}$ $t_c = 54^\circ\text{C}$	1200 1800	A A
$I_{TRM}$	Periodischer Spitzenstrom	repetitive peak on-state current		17	KA
$I_{TSM}$	Stoßstrom-Grenzwert	surge current	$t_p = 10 \text{ ms}, t_{vj} \leq 45^\circ\text{C}$ $t_p = 10 \text{ ms}, t_{vj} = t_{vj \max}$ $t_p = 10 \text{ ms}, t_{vj} \leq 45^\circ\text{C}$ $t_p = 10 \text{ ms}, t_{vj} = t_{vj \max}$	28 24 3,92 · 10 <sup>6</sup> 2,88 · 10 <sup>6</sup>	KA KA A <sup>2</sup> s A <sup>2</sup> s
$\int i^2 dt$	Grenzlastintegral	$\int i^2 dt$ -value			
$(di/dt)_{cr}$	Kritische Stromsteilheit	critical rate of rise of on-state current	Dauerbetrieb/continuous operation, $i_{TM} = 4 \text{ kA}$ , $v_L = 10 \text{ V}$ , $i_G = 1 \text{ A}$ , $di_G/dt = 1 \text{ A}/\mu\text{s}$	200	A/ $\mu\text{s}$
$(dv/dt)_{cr}$	Kritische Spannungssteilheit	critical rate of rise of off-state voltage	$v_D = 67\% V_{DRM}$ , $t_{vj} = t_{vj \max}$ 5. Kennbuchstabe/5th letter C 5. Kennbuchstabe/5th letter F	400 1000	V/ $\mu\text{s}$ V/ $\mu\text{s}$
<b>Charakteristische Werte</b>	<b>Characteristic values</b>				
$V_T$	Obere Durchlaßspannung	max. on-state voltage	$t_{vj} = 25^\circ\text{C}, i_T = 5,6 \text{ kA}$	2,15	V
$V_{(TO)}$	Schleusenspannung	threshold voltage	$t_{vj} = t_{vj \max}$	1,05	V
$r_T$	Ersatzwiderstand	slope resistance	$t_{vj} = t_{vj \max}$	0,185	mΩ
$V_{GT}$	Obere Zündspannung	max. gate trigger voltage	$t_{vj} = 25^\circ\text{C}, v_D = 6 \text{ V}, R_A = 2 \Omega$	2	V
$I_{GT}$	Oberer Zündstrom	max. gate trigger current	$t_{vj} = 25^\circ\text{C}, v_D = 6 \text{ V}, R_A = 2 \Omega$	250	mA
	Unterer Zündstrom	min. gate trigger current	$t_{vj} = t_{vj \max}, v_D = 6 \text{ V}, R_A = 2 \Omega$	10	mA
$I_H$	Oberer Haltestrom	max. holding current	$t_{vj} = 25^\circ\text{C}, v_D = 6 \text{ V}, R_A = 2 \Omega$	500	mA
$I_L$	Oberer Einraststrom	max. latching current	$t_{vj} = 25^\circ\text{C}, v_D = 6 \text{ V}, R_{GK} \geq 10 \Omega$ $i_G = 1 \text{ A}, di_G/dt = 1 \text{ A}/\mu\text{s}, t_g = 20 \mu\text{s}$	2,5	A
$i_D, i_R$	Oberer Vorwärts- und Rückwärts-Sperrstrom	max. forward off-state and reverse currents	$t_{vj} = t_{vj \max}, v_D = V_{DRM}$ ( $v_R = V_{RRM}$ )	150	mA
$t_{qd}$	Oberer Zündverzug	max. gate controlled delay time	$i_G = 1 \text{ A}, di_G/dt = 2 \text{ A}/\mu\text{s}$	4	$\mu\text{s}$
$t_q$	Typische Freiwerdezeit	typical turn-off time	Prüfbedingungen/test conditions 3.4.3.4	280	$\mu\text{s}$
$C_{null}$	Typische Nullkapazität	typical zero capacitance	$t_{vj} = 25^\circ\text{C}, f = 10 \text{ kHz}$	14	nF
<b>Thermische Eigenschaften</b>	<b>Thermal properties</b>				
$R_{thJC}$	Innerer Wärmewiderstand für beidseitige Kühlung	thermal resistance, junction to case for two-sided cooling	$\Theta = 180^\circ\text{el, sinus}$ DC	$\leq 0,021^\circ\text{C}/\text{W}$ $\leq 0,02^\circ\text{C}/\text{W}$	
$R_{thJCA}$	für anodenseitige Kühlung	for anode-sided cooling	$\Theta = 180^\circ\text{el, sinus}$ DC	$\leq 0,036^\circ\text{C}/\text{W}$ $\leq 0,035^\circ\text{C}/\text{W}$	
$R_{thJCK}$	für kathodenseitige Kühlung	for cathode-sided cooling	$\Theta = 180^\circ\text{el, sinus}$ DC	$\leq 0,048^\circ\text{C}/\text{W}$ $\leq 0,047^\circ\text{C}/\text{W}$	
$R_{thCK}$	Wärmewiderstand für einen Übergang zwischen Gehäuse und Kühlkörper	single sided thermal resistance, case to heatsink		0,008°C/W	
$t_{vj \max}$	Höchstzul. Sperrsichttemperatur	max. junction temperature		125°C	
$t_{vj \text{ op}}$	Betriebstemperatur	operating temperature		$-40^\circ\text{C} \dots +125^\circ\text{C}$	
$t_{stg}$	Lagertemperatur	storage temperature		$-40^\circ\text{C} \dots +150^\circ\text{C}$	
<b>Mechanische Eigenschaften</b>	<b>Mechanical properties</b>				
<b>G</b>	Gewicht T 1200 N/T 1209 N	weight T 1200 N/T 1209 N		600 g/540 g	
<b>F</b>	Anpreßkraft	clamping force		20...30 kN	
	Maßbilder T 1200 N/T 1209 N	outlines T 1200 N/T 1209 N	DIN 41814-155 B 4	Seite/page 241	
	Kriechstrecke T 1200 N/T 1209 N	creepage distance T 1200 N/T 1209 N		25 mm/32 mm	
	Feuchtekategorie	humidity classification	DIN 40040	C	
	Schüttelfestigkeit	vibration resistance	$f = 50 \text{ Hz}$	$5 \times 9,81 \text{ m/s}^2$	



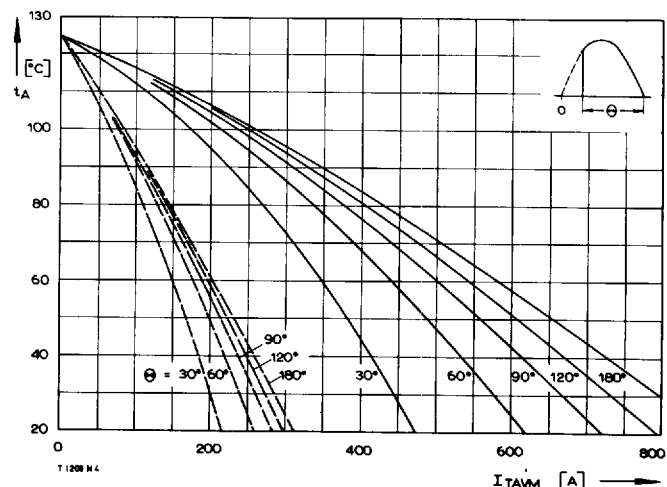
Bild/Fig. 1  
Durchlaßkennlinien/On-state characteristics  
a – Typische Kennlinien/typical characteristics  
b – Grenzkennlinien/limiting characteristics



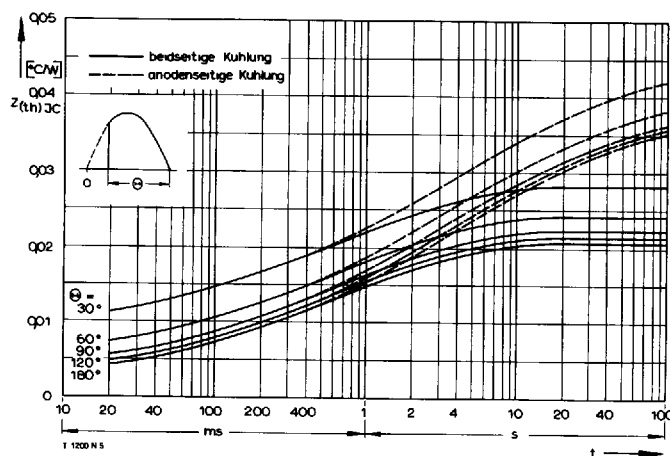
Bild/Fig. 2  
Durchlaßverlustleistung  $P_T$ /On-state power loss  $P_T$   
Parameter: Stromflußwinkel  $\Theta$ /current conduction angle  $\Theta$



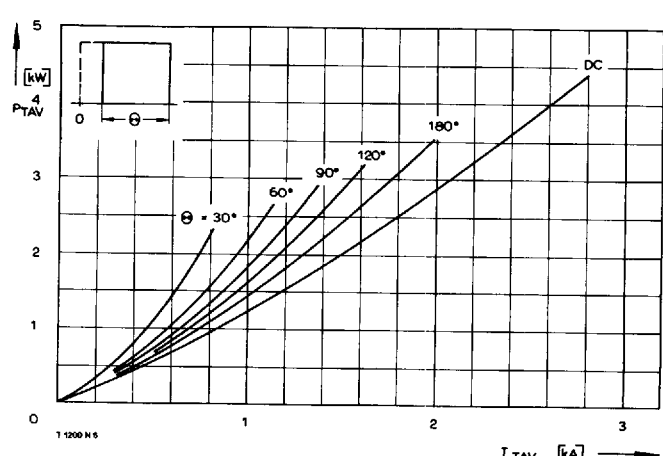
Bild/Fig. 3  
Höchstzulässige Gehäusetemperatur  $t_c$   
Maximum allowable case temperature  $t_c$   
---- anodenseitige Kühlung/anode sided cooling  
— beidseitige Kühlung/two-sided cooling



Bild/Fig. 4  
Höchstzulässige Kühlmitteltemperatur  $t_A$  bei Betrieb auf Kühlkörper K0,05 F.  
Maximum allowable cooling medium temperature  $t_A$ , heatsink type K 0.05 F.  
---- Luftselbstkühlung/natural cooling  
— verstärkte Luftkühlung/forced cooling,  $V_L = 120 \text{ l/s}$



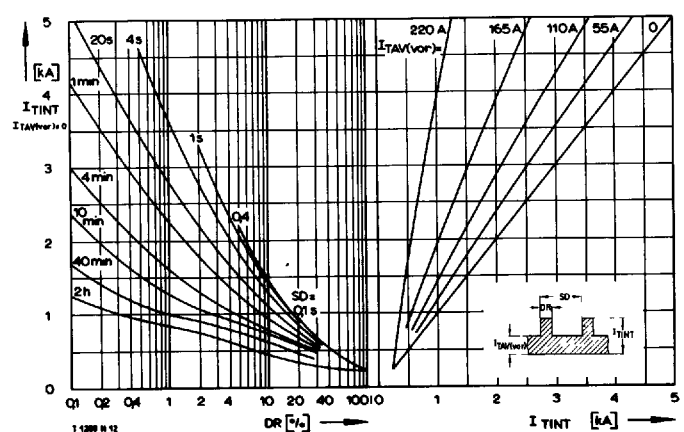
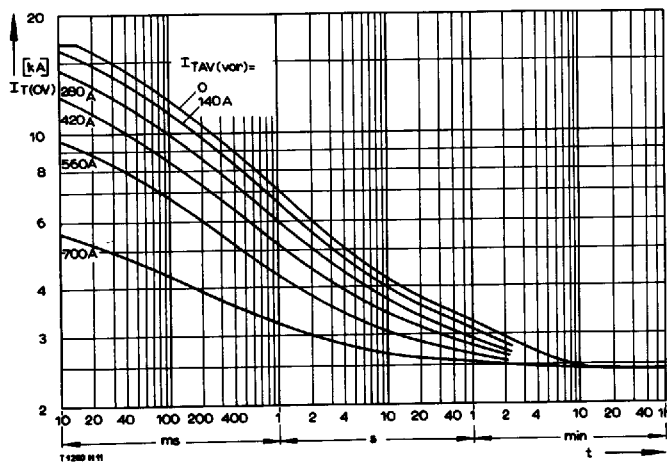
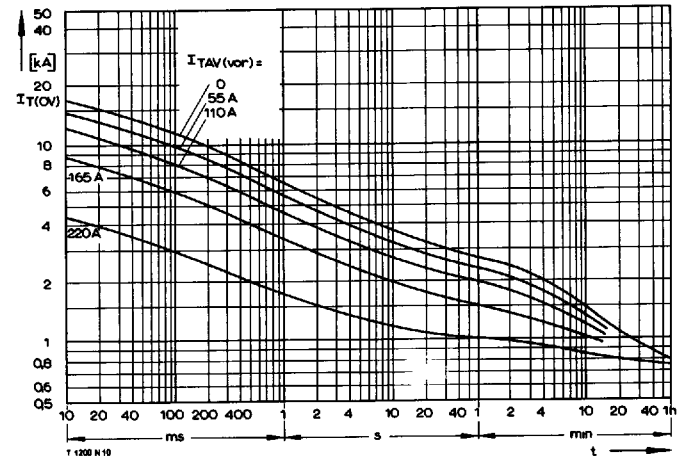
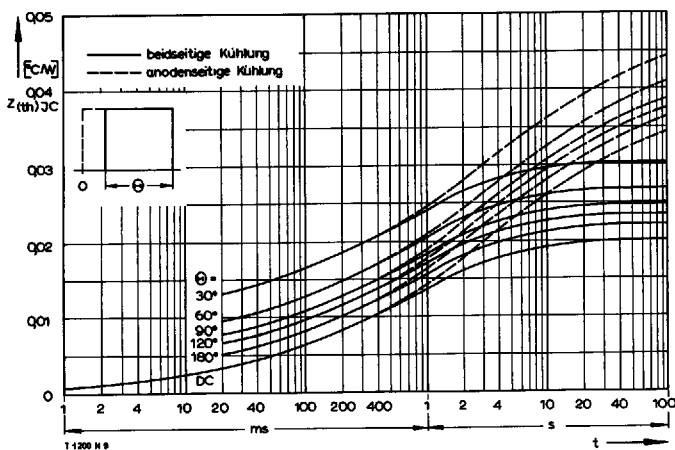
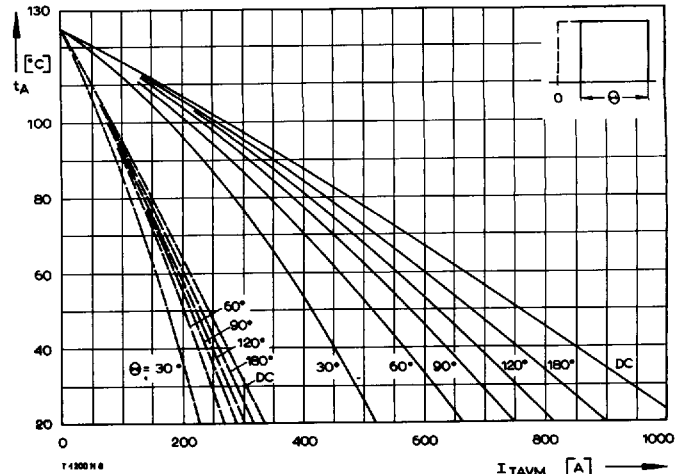
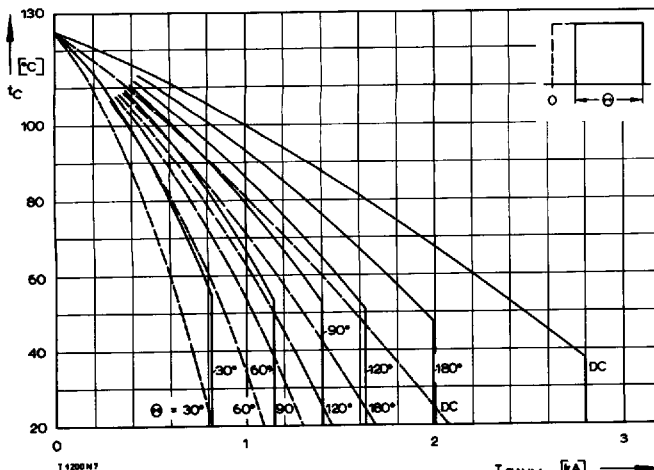
Bild/Fig. 5  
Transient innerer Wärmewiderstand  $Z_{(th)JC}$   
Transient thermal impedance, junction to case,  $Z_{(th)JC}$ , at two-sided cooling  
---- anodenseitige Kühlung/anode sided cooling  
— beidseitige Kühlung/two-sided cooling

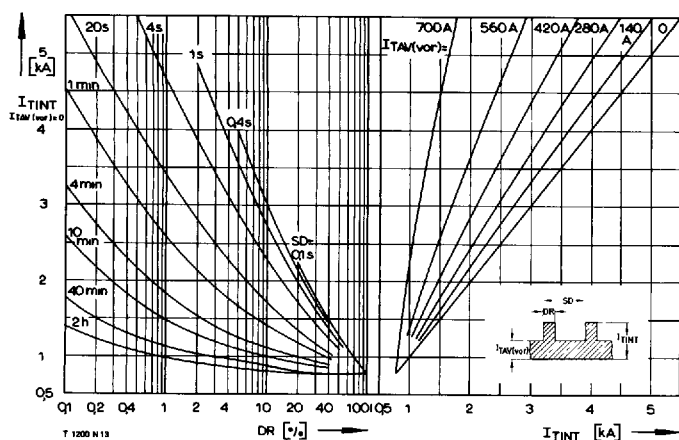


Bild/Fig. 6  
Durchlaßverlustleistung  $P_T$ /On-state power loss  $P_T$   
Parameter: Stromflußwinkel  $\Theta$ /current conduction angle  $\Theta$

**T 1200 N T 1209 N**

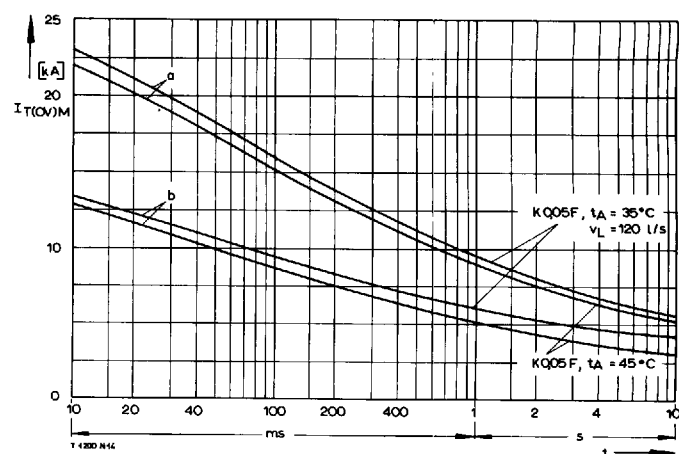
T-25-21





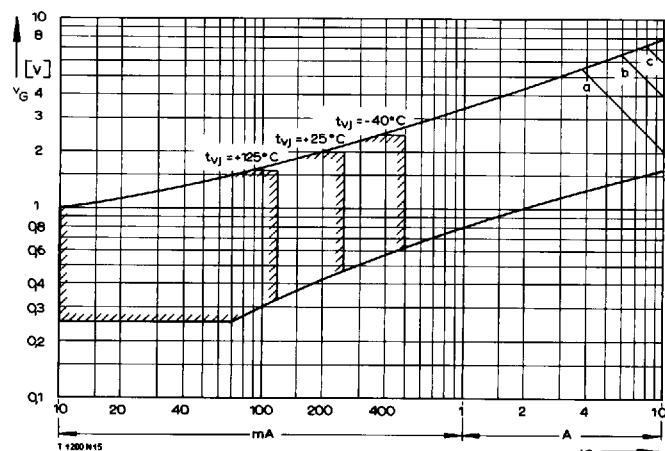
Bild/Fig. 13

Höchstzulässiger Durchlaßstrom  $I_{TINT}$  bei Aussetzbetrieb und verstärkter Luftkühlung,  $t_A = 35^\circ\text{C}$ , Kühlkörper K0,05 F,  $V_L = 120 \text{ l/s}$ .  
 Limiting on-state current  $I_{TINT}$  during intermittent operation at forced cooling,  
 $t_A = 35^\circ\text{C}$ , heatsink type K0.05 F,  $V_L = 120 \text{ l/s}$ .  
 Parameter: Spieldauer/cycle duration SD  
 Vorlaststrom/pre-load current  $I_{AV(vor)}$



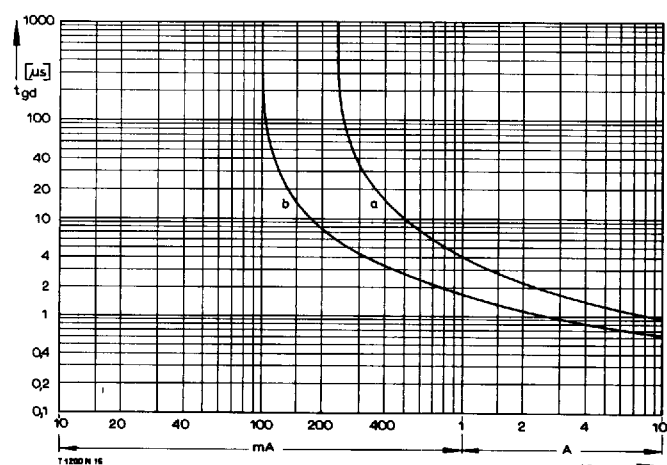
Bild/Fig. 14

Grenzstrom  $I_{TOVM}$  bei Luftselfkühlung und verstärkter Luftkühlung,  
 Kühlkörper K0,05 F,  $U_{RM} = 0,8 U_{RRM}$ .  
 Limiting overload on-state current  $I_{TOVM}$  at natural and forced cooling,  
 heatsink type K0.05 F,  $U_{RM} = 0,8 U_{RRM}$ .  
 a – Belastung aus Leerlauf/current surge under no-load conditions  
 b – Belastung im Anschluß an Betrieb mit Dauergrenzstrom  $I_{AVM}$ /current surge occurs during operation at limiting mean on-state current rating  $I_{AVM}$



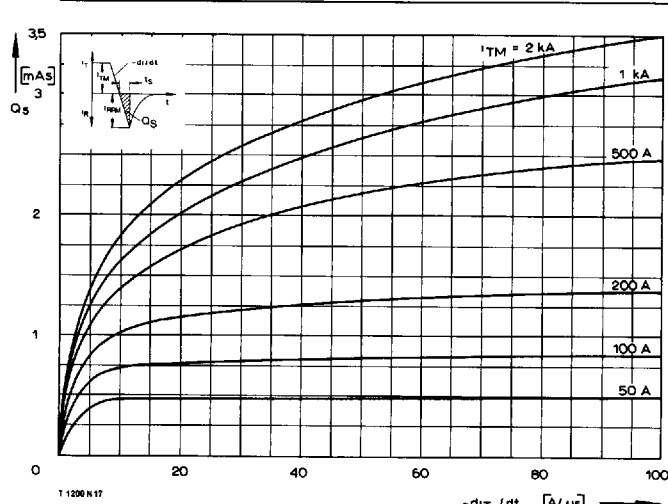
Bild/Fig. 15

Zündbereich und Spitzensteuerleistung bei  $V_D \geq 6 \text{ V}$ .  
 Gate characteristic and peak gate power dissipation at  $V_D \geq 6 \text{ V}$ .  
 Parameter:  
 Steuerimpulsdauer/Pulse duration  $t_g$  [ms] 10 1 0,5  
 Höchstzulässige Spitzensteuerleistung/  
 Maximum allowable peak gate power [W] 20 40 60



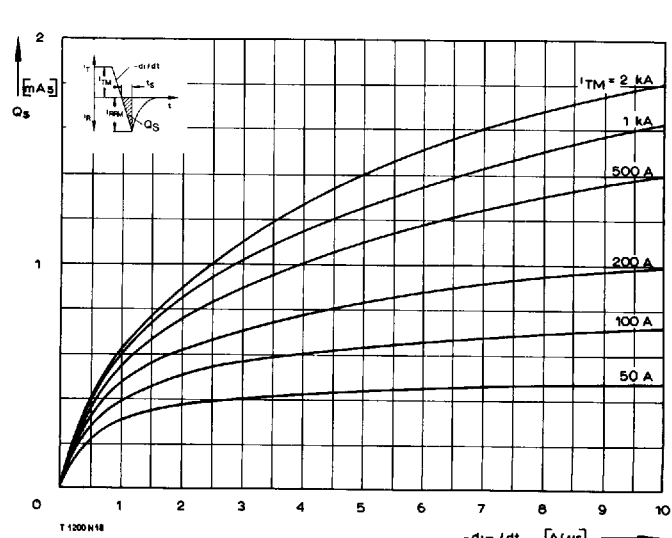
Bild/Fig. 16

Zündverzug  $t_{gd}$  nach DIN 41787 bei  $t_j = 25^\circ\text{C}$ ,  $t_g = 1 \mu\text{s}$ .  
 Gate controlled delay time  $t_{gd}$  to DIN 41787 at  $t_j = 25^\circ\text{C}$ ,  $t_g = 1 \mu\text{s}$ .  
 a – äußerster Verlauf/limiting characteristic  
 b – typischer Verlauf/typical characteristic



Bild/Fig. 17

Nachlaufladung  $Q_S$  in Abhängigkeit von der abkommunizierenden Stromteilheit  $-di/dt$  bei  $t_j = 125^\circ\text{C}$ .  
 Der angegebene Verlauf wird von 90% aller Thyristoren nicht überschritten.  
 Lag charge  $Q_S$  versus the rate of decay of the forward on-state current  $-di/dt$  at  $t_j = 125^\circ\text{C}$ . -- These curves are valid for 90% of all thyristors.



Bild/Fig. 18

Ausschnitt aus Bild 17/Detail of fig. 17.